

El evento del Cemento, el Concreto y los Prefabricados





Uso de barras de FRP como refuerzo interno para concreto

V-ROD/Aritrec S. A. Canadá





Contenido

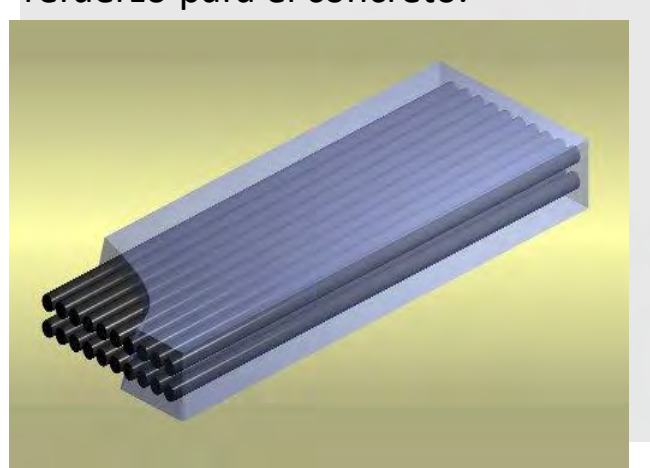
- 1. <u>Características generales</u> de las barras de refuerzo FRP y filosofía de diseño estructural (Fiber Reinforced Polymer).
- Investigaciones acerca del uso de barras de FRP como refuerzo interno de <u>elementos estructurales</u> de concreto y mampostería
- 3. Comportamiento a flexión en <u>vigas híbridas</u> armadas con acero convencional y barras FRP.

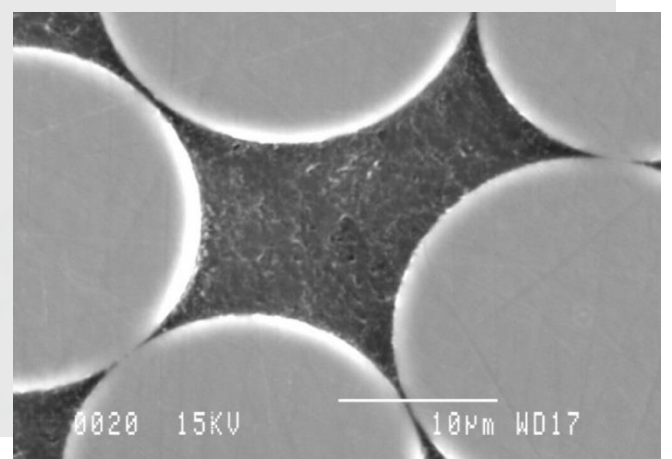


Composición de las barras de refuerzo compuestas

Material compuesto formado por fibras impregnadas con una resina y luego endurecidas y moldeadas en la forma de refuerzo para el concreto.

FRP: Fibre-reinforced polymers GFRP: Glass Fibre-reinforced polymers





Fibras + Matriz polimérica

Vidrio, carbón, aramídicas, basalto + Poliéster, epoxi, éster vinílico





1.

Composición de las barras de refuerzo compuestas

- Fibras de vidrio
- Polímeros de éster vinílico
- Aditivos



- Método de pultrusión
- Revestimiento de arena
- Proceso de generación de barras curvas



2.



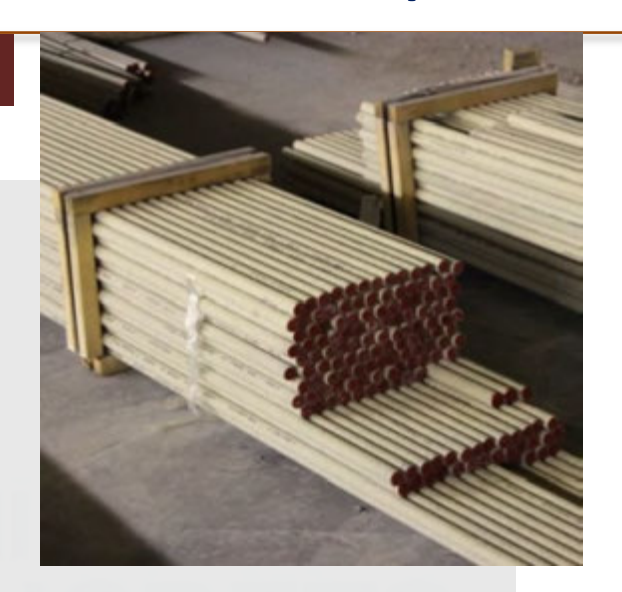






Decálogo de una revolución tecnológica

- 1. Resisten la corrosión.
- 2. Poseen una resistencia superior a la tensión.
- 3. Presentan una <u>expansión térmica</u> comparable a la del concreto.
- 4. Ofrecen neutralidad electromagnética.
- 5. No crean <u>puentes térmicos</u> entre estructuras.
- 6. Son cerca de cuatro veces <u>más livianas</u> que el acero, fáciles de cortar y reducen los riesgos de accidentes laborales.
- 7. Se fabrican en <u>longitudes</u>, <u>ángulos</u> o curvas de secciones especiales según diseños.
- 8. Es un producto ecológico y sustentable.



- 9. Reduce costos de construcción y de ciclo de vida de la estructura.
- 10. Las producen <u>fábricas</u> <u>certificadas</u> y de larga trayectoria a nivel mundial, con NTC aprobada (6280).





Decálogo de una revolución tecnológica

1. Solución definitiva a la corrosión







- No más concreto
 - No concreto especializado •
- No protección catódica
- No membranas







Deformación

Decálogo de una revolución tecnológica

Comparación entre GFRP y barras de acero

Propiedades	Unidad de medida	V•ROD Grado III	Barra de refuerzo en acero
Resistencia a la tensión	MPa	1300	400
Módulo de elasticidad	GPa	60	200
Esfuerzo de tensión	%	2.1	5 a 20
Adherencia	MPa	14	≈10
Esfuerzo (MPa)		Relación esfuerzo- deformación de materiales compuestos en relación con el concreto y el acero	
1300	GFRP	mater compu relació	iales uestos en ón con el
1300	GFRP	mater compu relació concre	iales uestos en ón con el











Decálogo de una revolución tecnológica

Comparación entre GFRP y barras de acero

Propiedades	Unidad de medida	V•ROD Grado III (HM)	Barra de refuerzo en acero
Coeficiente longitudinal de expansión térmica	10 ⁻⁶ /ºC	6	12
Coeficiente transversal de expansión térmica	10 ⁻⁶ /ºC	24	12
Resistividad eléctrica	Ω·m	> 10 ¹⁰	≈1,5 x 10 ⁻⁷
Conductividad térmica	W/(m·K)	<1	≈50



Abu Dhabi, Planta de aluminio





Universidad de Mc Master, Base de microscopio electrónico



Decálogo de una revolución tecnológica







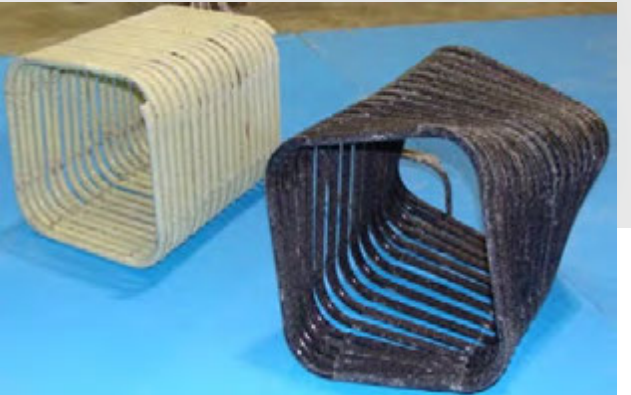
Son cerca de cuatro veces más livianas que el acero, fáciles de cortar y reducen los riesgos de accidentes laborales.



















Barras curvas, espirales, cabezas de anclaje







Decálogo de una revolución tecnológica

8 Producto ecológico y sustentable

Se logró establecer que el uso de barras compuestas tiene:

- 70% menos impacto sobre la salud humana;
- 85% menos impacto sobre los ecosistemas;
- 64% menos impacto en el cambio climático;
- 63% menos uso de recursos que el refuerzo de acero.



Comparación entre GFRP y barras de acero

Propiedades	Unidad de medida	V•ROD Grado III (HM)	Barra de refuerzo en acero
Cobertura requerida de concreto (CAN/CSA S806-12)	d _b	30 mm a 2 d _b	20 a 75







Decálogo de una revolución tecnológica

9 Reduce costos de construcción y de ciclo de vida de la estructura.





Waterloo, Tren ligero

Con GFRP:

- Se <u>eliminan los costos</u> relacionados con el uso de membranas.
- Se utiliza <u>concreto convencional</u> en lugar de concreto de baja permeabilidad o con inhibidores de corrosión añadidos.
- El uso de la tecnología V-ROD puede representar un ahorro del 45 al 60% en costos de mantenimiento.
- Dado el valor actual del coste total del ciclo de vida, el uso de la tecnología V-ROD puede representar un <u>ahorro</u> de aproximadamente 15 a 25%
- Reducción de costos por concepto de <u>transporte</u>, manipulación e instalación.



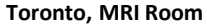
Decálogo de una revolución tecnológica

9 Reduce costos de construcción y de ciclo de vida de la estructura.



Con GFRP:

- Pruebas de laboratorio y estudios de campo muestran que V•ROD ofrece una expectativa de vida en condiciones de servicio de más de:
 - > 100 años







Códigos de construcción y guías de diseño

Canadá:



Estados Unidos:



ACI 440.1R-15

Colombia:



AASHTO LRFD 2009







Embarcadero

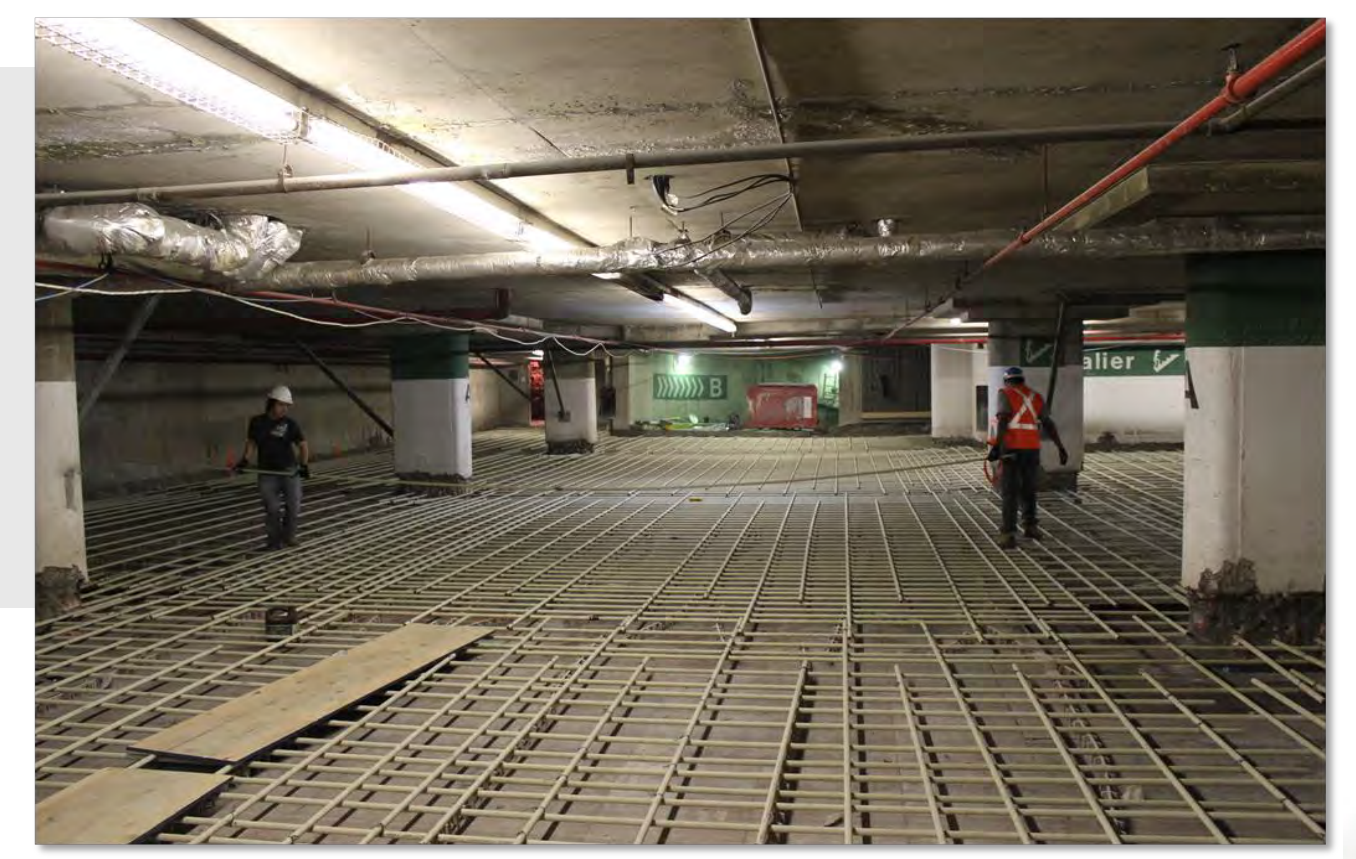


Wyndham, Australia





Estacionamientos







Muros de retención





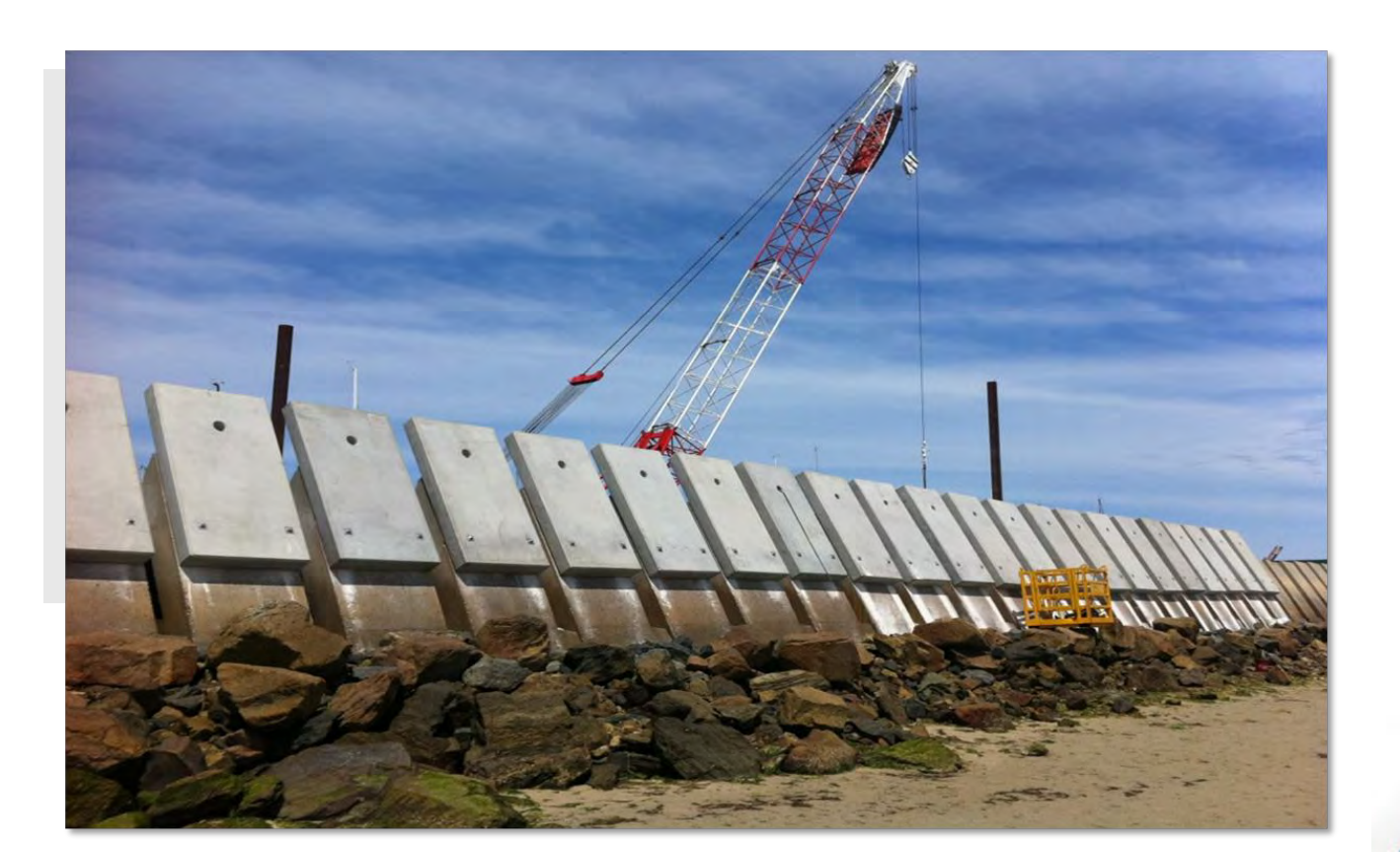








Royal South Australian Yacht Club, Australia







Plantas de tratamiento de agua

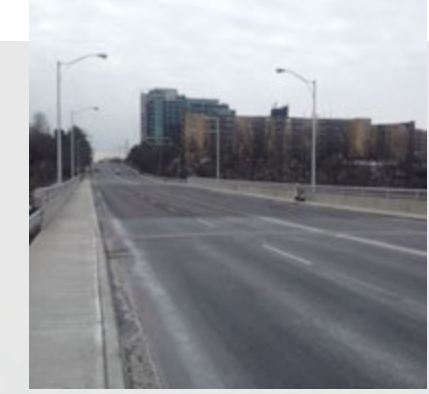






Kipling Ave Bridge, Toronto, Canadá













Dowels











Postes prefabricados













Prefabricados, pretensados

















2. Investigaciones acerca del uso de barras de FRP como refuerzo interno de elementos estructurales de concreto y mampostería

Nancy Torres Castellanos





Introducción

Barras de FRP en aplicaciones para elementos de concreto nuevos:

- Buen comportamiento, usado desde la década de los noventa
 - Salas con equipos de resonancia magnética
 - Losas de puentes
 - Muros de contención en zonas costeras
- ACI 440.1R-15 Guide for the Design and Construction of Structural Concrete Reinforced with Fiber-Reinforced Polymer Bars

Aplicaciones de barras de FRP para muros de mampostería nueva:

- Mampostería cerca de equipos electromagnéticos
 - Salas con equipos de resonancia magnética
 - Muros cercanos a cables de alta tensión y transformadores en subestaciones
- Muros expuestos a ambientes severos
 - Construcciones costeras
 - Muros de contención en el mar
 - Plantas químicas
 - Sótanos



Investigaciones en la Escuela Colombiana de Ingeniería

Mampostería:

 Comportamiento a flexión de muros de mampostería, reforzados internamente con barras de FRP.

Concreto:

 Comportamiento ante cargas cíclicas de uniones viga-columna de concreto reforzadas con barras y estribos de FRP.



Comportamiento a flexión de muros de mampostería reforzados internamente con barras de FRP.







Photos Courtesy: Hughes Bros



Objetivos

- Evaluar el comportamiento a flexión de muros de mampostería, reforzados con barras de FRP, sujetos a cargas fuera del plano.
 - Identificar modos de falla
 - Comparar el comportamiento con muros de mamposteria convencionales
- Desarrollar un protocolo preliminar de diseño.
 - Basado en:
 - TMS 402 Building Code Requirements and Specification for Masonry Structures
 - ACI 440.1R-15 Guide for the Design and Construction of Structural Concrete Reinforced with Fiber-Reinforced Polymer Bars



Programa experimental

- Ensayos de mas de 40 muros de mampostería reforzados con barras de FRP, sujetos a carga fuera del plano
 - Mampostería en concreto y arcilla

- Diferentes anchos de muro y diferentes configuraciones de refuerzo de FRP
 - Barras de GFRP y CFRP de ½" de diametro,
 - Barras de ½" acero



Construcción de los muros







Configuración del refuerzo

Muros	b (m)	Refuerzo	$\rho_f = A_f/bd$	Configuración
M1-G	1,6	4 GFRP bars	0,00437	
M2-G	1,2	2 GFRP bars	0,00291	
M3-G	1,8	3 GFRP bars	0,00291	
M4-G	1,6	2 GFRP bars	0,00218	
M5-G	1,0	1 GFRP bar	0,00175	
M6-G	1,2	1 GFRP bar	0,00146	
M7-G	1,4	1 GFRP bar	0,00125	
M8-C	1,6	4 CFRP bars	0,00437	
M9-C	1.2	2 CFRP bars	0,00291	
M10-C	1,8	3 CFRP bars	0,00291	
M11-C	1,6	2 CFRP bars	0,00218	
M12-C	1,0	1 CFRP bar	0,00175	
M13-C	1,2	1 CFRP bar	0,00146	
M14-C	1,4	1 CFRP bar	0,00125	

- Espesor = 150 mm
- Altura = 2,20 m



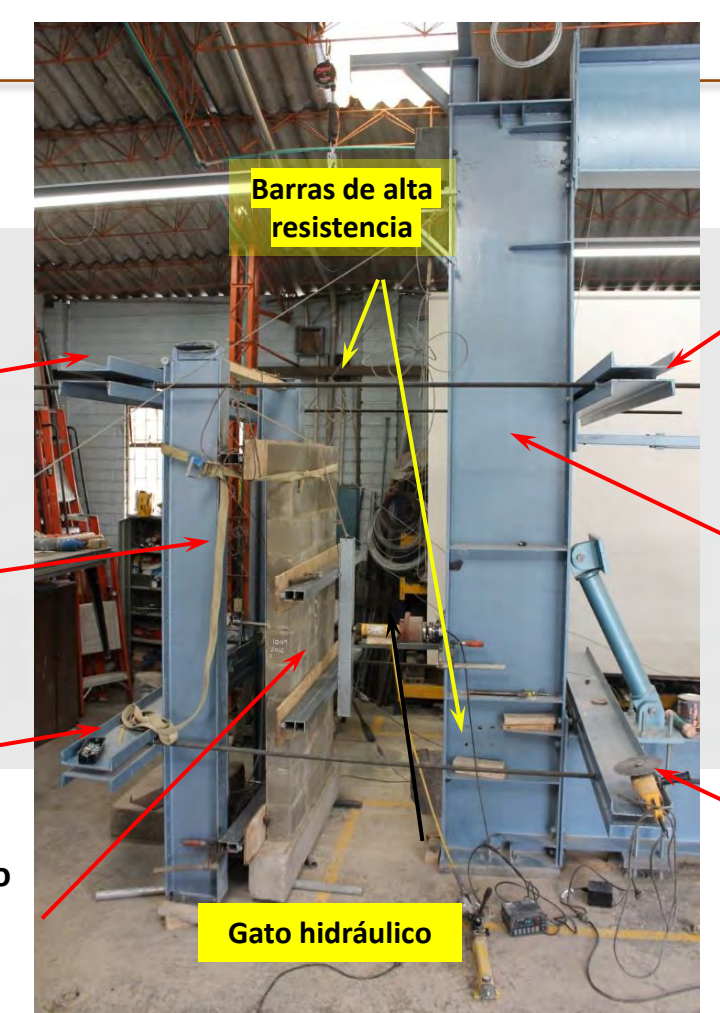
Montaje de ensayo Closed-Loop

Viga de reacción

Pórtico de reacción

Viga de reacción

Muro de ensayo (2.20 m de altura)



Viga de reacción

Portico Resistente

Viga de Reacción





Montaje de ensayo



Lado frontal

Lado posterior





Modos de falla



Aplastamiento de la mampostería



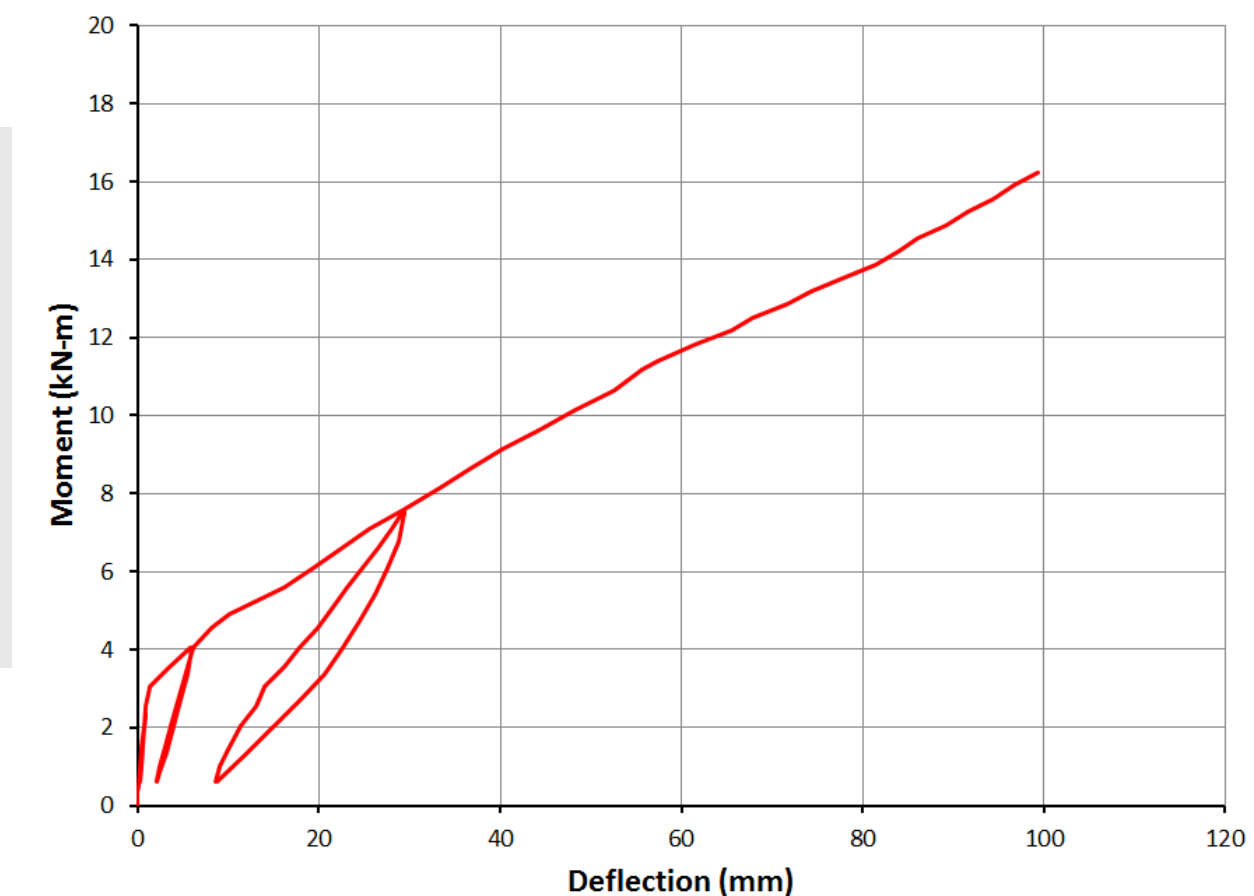


Fisuración por flexión

Ruptura del FRF



Comportamiento típico





Comportamiento de un muro típico

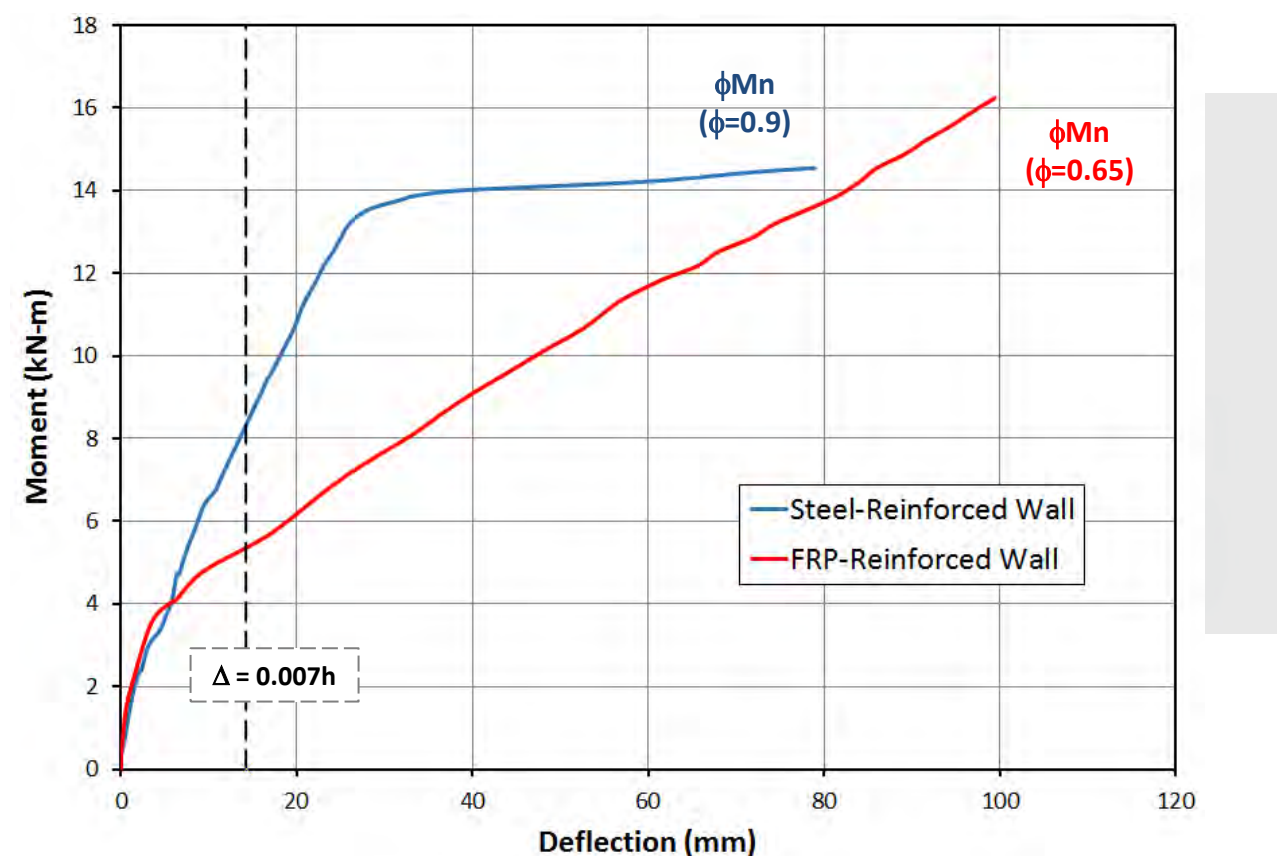








Comparativo de muros reforzados con barras de FRP y de acero



Comparativo de muros reforzados con barras de FRP y de acero

4 Barras de GFRP #4 GFRP



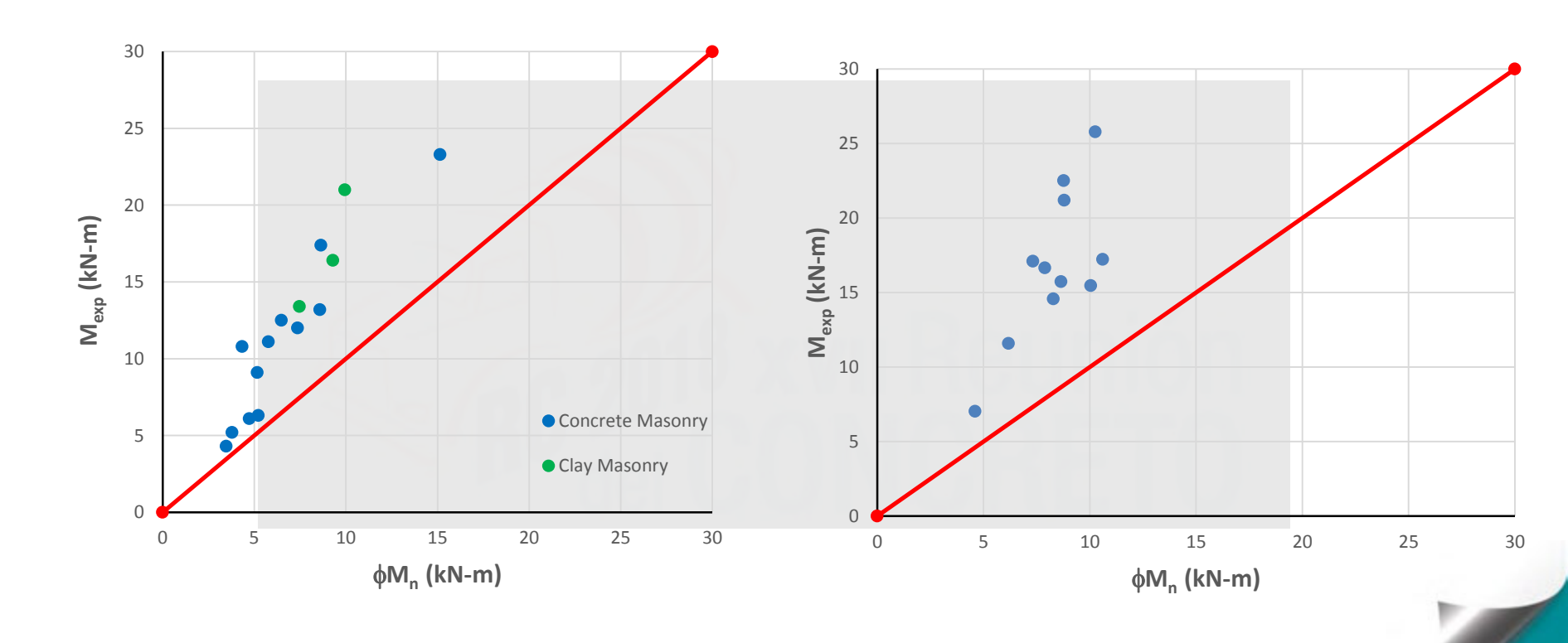


3 Barras de acero - #4





Resultados iniciales y validación





Protocolo preliminar de diseño

 $\phi Mn \geq Mu$

Balanced Ratio:

$$\rho_{fb} = 0.80 \,\beta_1 \frac{f'_m}{f_{fu}} \, \frac{E_f \varepsilon_{mu}}{E_f \varepsilon_{mu} + f_{fu}}$$

- Reinforcement Ratio: $\rho_{fb} = \frac{A_f}{hd}$
- \triangleright Masonry crushing if: $\rho_f > \rho_{fb}$

$$f_f = \sqrt{\frac{\left(E_f \varepsilon_{mu}\right)^2}{4} + \frac{0.80 \, \beta_1 f'_m}{\rho_f} E_f \varepsilon_{mu}} - 0.5 E_f \varepsilon_{mu}$$

$$a = \frac{A_f f_f}{0.80 f'_m b}$$

$$Mn = A_f f_f \left(d - \frac{a}{2} \right)$$

$$\beta_1 = 0.80$$

$$\varepsilon_{mu} = \begin{cases}
0.025 & \text{for concrete masonry} \\
0.035 & \text{for clay masonry}
\end{cases}$$

$$\triangleright$$
 FRP rupture if: $\rho_f < \rho_{fb}$

$$c_b = \left(\frac{\varepsilon_{mu}}{\varepsilon_{mu} + \varepsilon_{fu}}\right) d$$

$$Mn = A_f f_{fu} \left(d - \frac{\beta_1 c_b}{2} \right)$$



Protocolo preliminar de diseño

■ Factor φ:

ϕMn	\geq	Mu
7	_	

Code / Guide	Controla tensión	Controla compresión	
TMS 402	φ = 0.9	·	
Mamposteria reforzada con acero	(Fluencia del acero)	Ninguno	
ACI 440.1R	φ = 0.55	φ = 0.65	
Concreto nuevo reforzado con FRP	(Ruptura del FRP)	(Aplastamiento del concreto)	

➤ Ruptura del FRP:

$$Mn = A_f f_{fu} \left(d - \frac{\beta_1 c_b}{2} \right)$$

 $\phi = 0.55$ (Controla tensión)

Aplastamiento de la mampostería:

$$Mn = A_f f_f \left(d - \frac{a}{2} \right)$$

$$\phi = 0.65$$
 (Controla compresión)



Conclusiones

- En general, buena concordancia entre la capacidad a flexión teórica y experimental
 - Basado en TMS 402 and ACI 440.1R-15
 - Aplastamiento de la mampostería, modo predominante de falla

- Comparados con los muros reforzados con acero:
 - Mayores deflexiones en servicio
 - Menores deflexiones residuales
 - Costos comparables de construcción (en especial para los muros reforzados con GFRP)



Comportamiento ante cargas cíclicas de uniones viga-columna de concreto reforzadas con barras y estribos de FRP.





Falla en uniones viga-columna







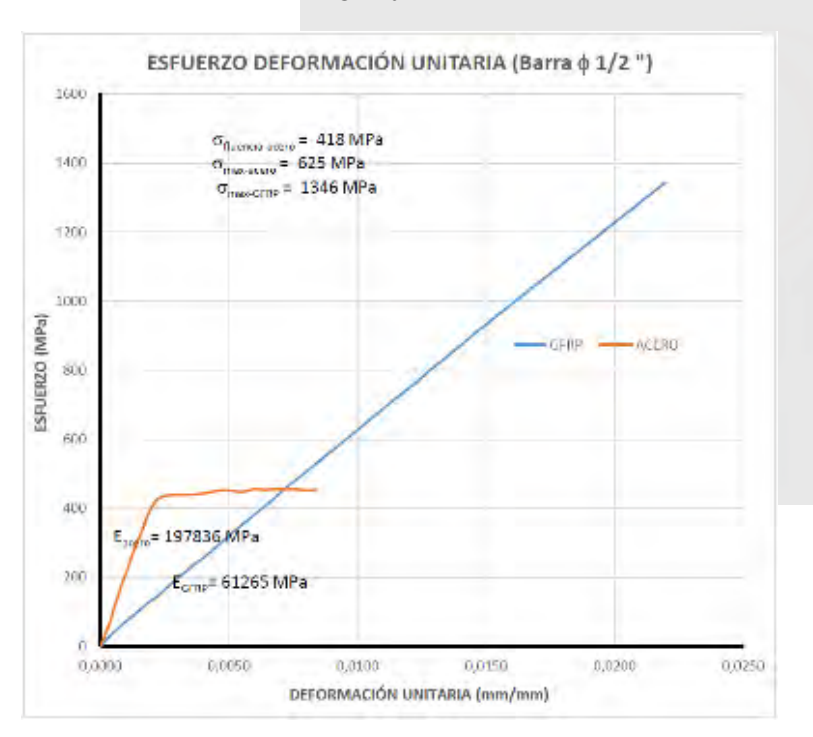
Objetivos

- Evaluar el comportamiento de uniones viga-columna reforzadas con barras y estribos de GFRP en diferentes cuantías
- Comparar el comportamiento con uniones viga columna reforzadas con acero y diseñadas de acuerdo a la NSR-10
- Desarrollar recomendaciones para el diseño de uniones viga columna reforzadas con barras de GFRP



Programa experimental

- Concreto \rightarrow f'c=28 MPa
- Barras de Acero → fy=420 MPa
- Barras GFRP \rightarrow f_{GFRPu}=1340 MPa

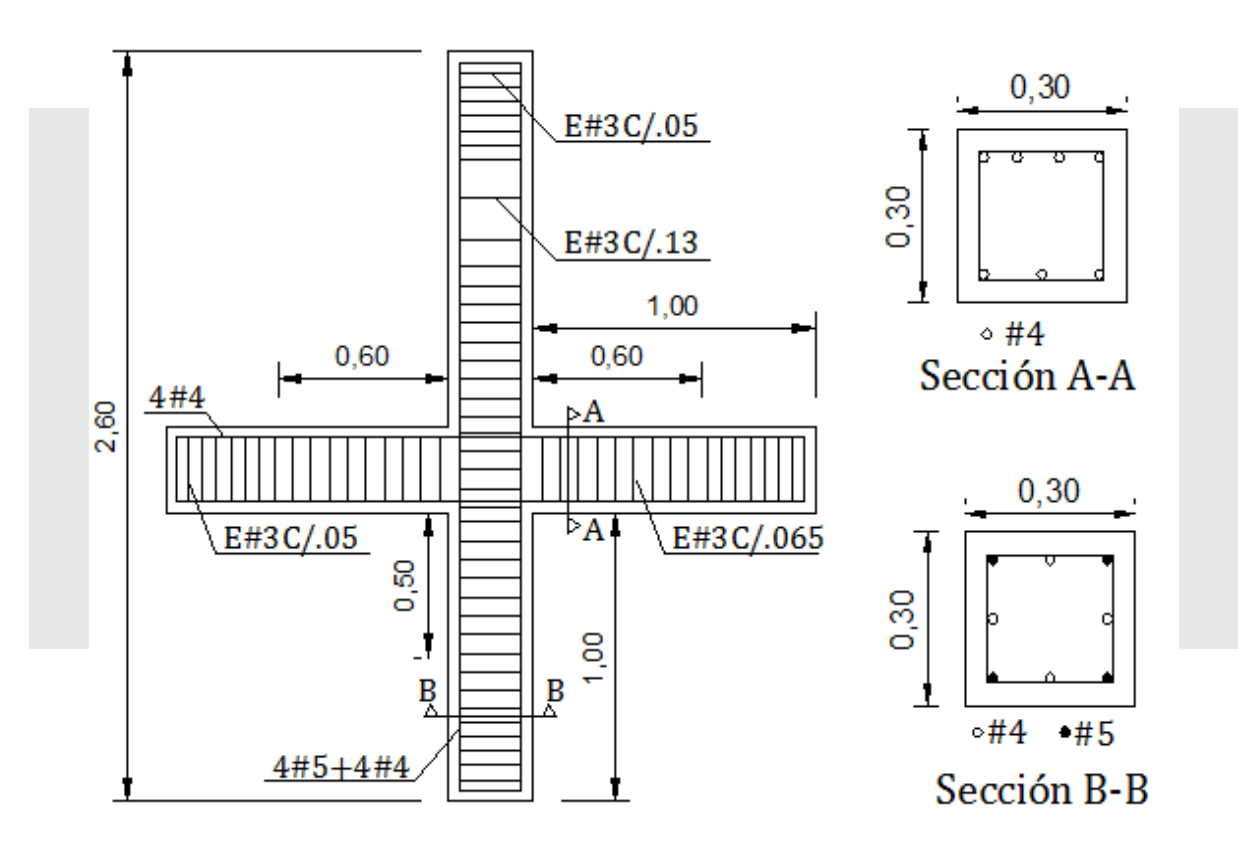


Espécimen	Nomenclatura	Tipo de detallado	
E-1	NSR-10	Barras y estribos en acero	
E-2	GFRP-1	Barras y estribos GFRP	
E-3	GFRP-2	Barras y estribos GFRP	
E-4	GFRP-3	Barras y estribos GFRP	

E2-E3-E4, se definirán a medida que se ensayen y se comparen con el espécimen E-1 (NSR-10).



Esquema de refuerzo



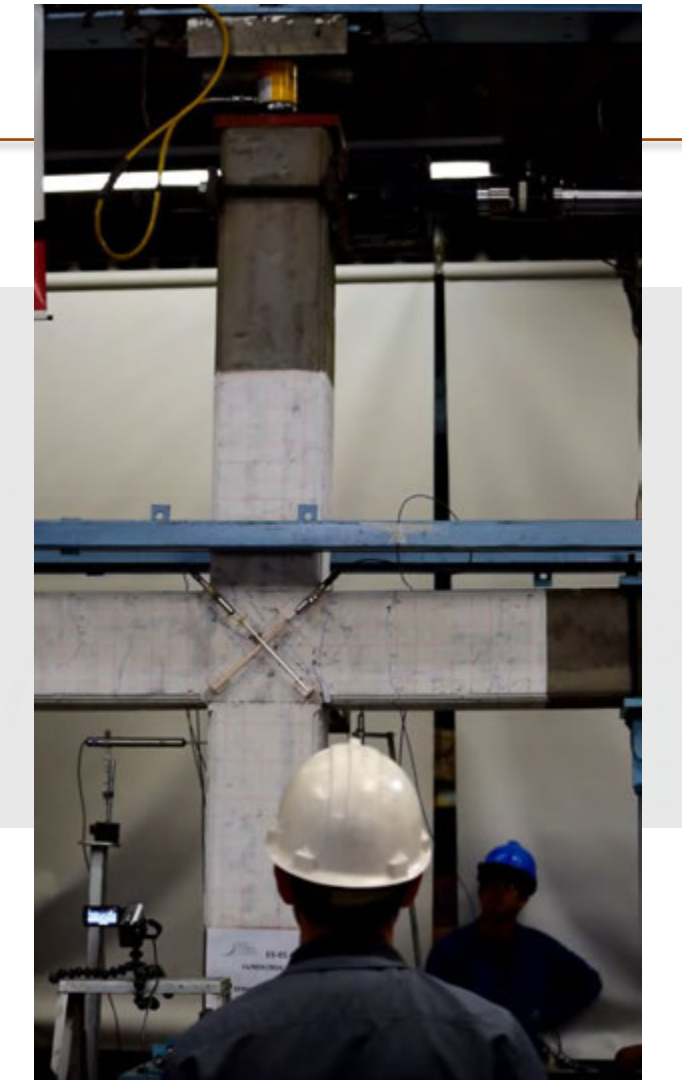


Construcción de uniones









Ensayo de uniones



NORMA TÉCNICA COLOMBIANA

NTC 6280

2018-07-15

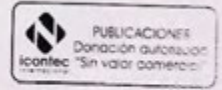
ESPECIFICACIONES PARA POLÍMEROS REFORZADOS CON FIBRAS



E. SPECIFICATION FOR FIBRE-REINFORCED POLYMERS

CORRESPONDENCIA esta es una adopción idéntica respecto (IDT) respecto a su documento de referencia la norma CSA S 507° 2010: (reaffirmed 2015).

DESCRIPTORES: barra, polimero, construcción, refuerco, materiales compuestos



I.C.S.: 91,100.40

Editade por el Instituto Colombiano de Normas Technicas y Centificación (ICCN/TEC). Apartedo 14237 Bogota, D.C. - Tel. (571) (501686) - Fax (571) (200445)

Prohibide by reproduction

Cataca 2018-01-01

Lanzamiento:

Norma Técnica Colombiana 6280.

Especificaciones para polímeros reforzados con fibras.

Barras FRP.

Based: CSA S 807, 2010.





Laboratorio de materiales Alejandro Sandino







Muro de reacción



Alto: 10 m

Espesor: 1,5 m

L (15,5 y 8,7 m) externos



MURO DE REACCIÓN





Reconocimientos

Escuela

- Laboratorio de Estructuras de la Escuela Colombiana de Ingeniería Operarios
- Alfonso Quintana, Daniel Otálora, David Calderón, Andrés Ramírez, Nicolás Correa, Angela Herrera

Asesores internacionales

- Antonio Nanni, Universidad de Miami, Miami, FL
- Gustavo Tumialan, Simpson Gumpertz and Heger Inc., Boston, MA

Fabricantes de barras de FRP

- Aritrec S.A Quebec Canadá
- Sireg Milan, Italia

Ladrilleras

- Ladrillera Kreato S.A., Bogotá, Colombia
- Ladrillera Santafé S.A., Bogotá, Colombia





Gracias!!

nancy.torres@escuelaing.edu.co





3. Comportamiento a flexión en vigas híbridas armadas con acero convencional y barras FRP (Fiber Reinforced Polymer)

Ing. Sergio González Laguna Aritrec S.A. Colombia



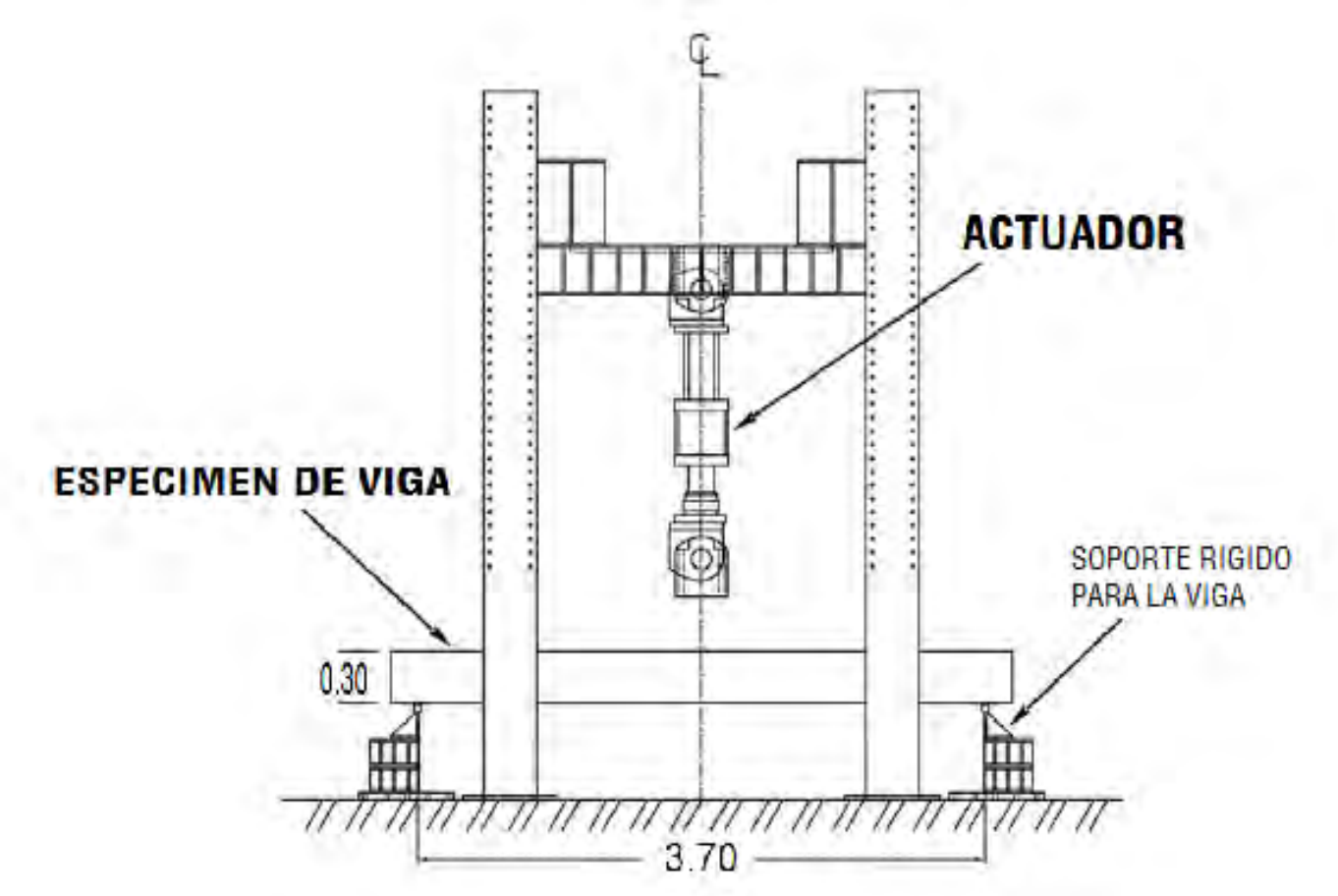
Objetivo general

Formulación del comportamiento a flexión en la interface de vigas rectangulares híbridas armadas en tracción con varillas de acero convencional 420 mpa y barras GFRP -**Glass Fiber Reinforced Polymer**





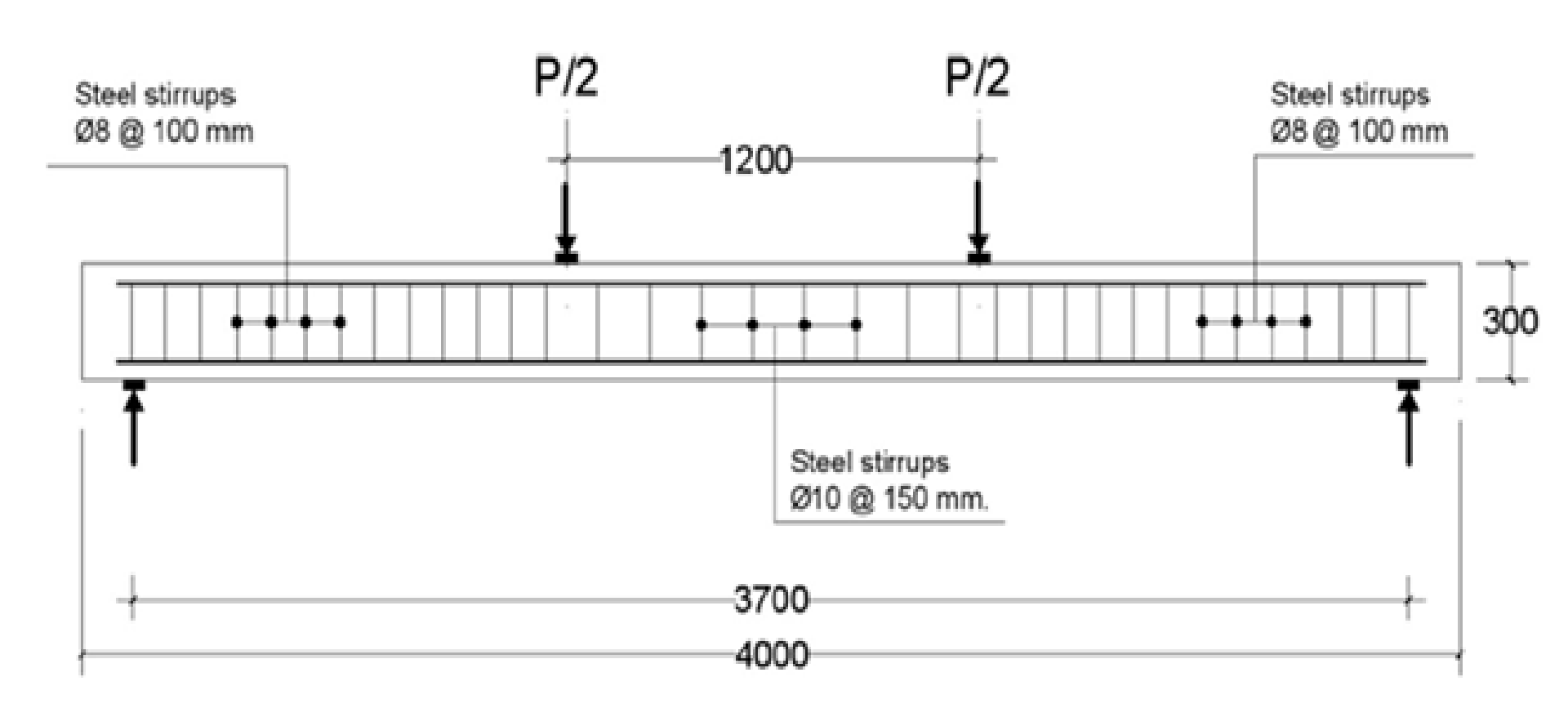
Metodología





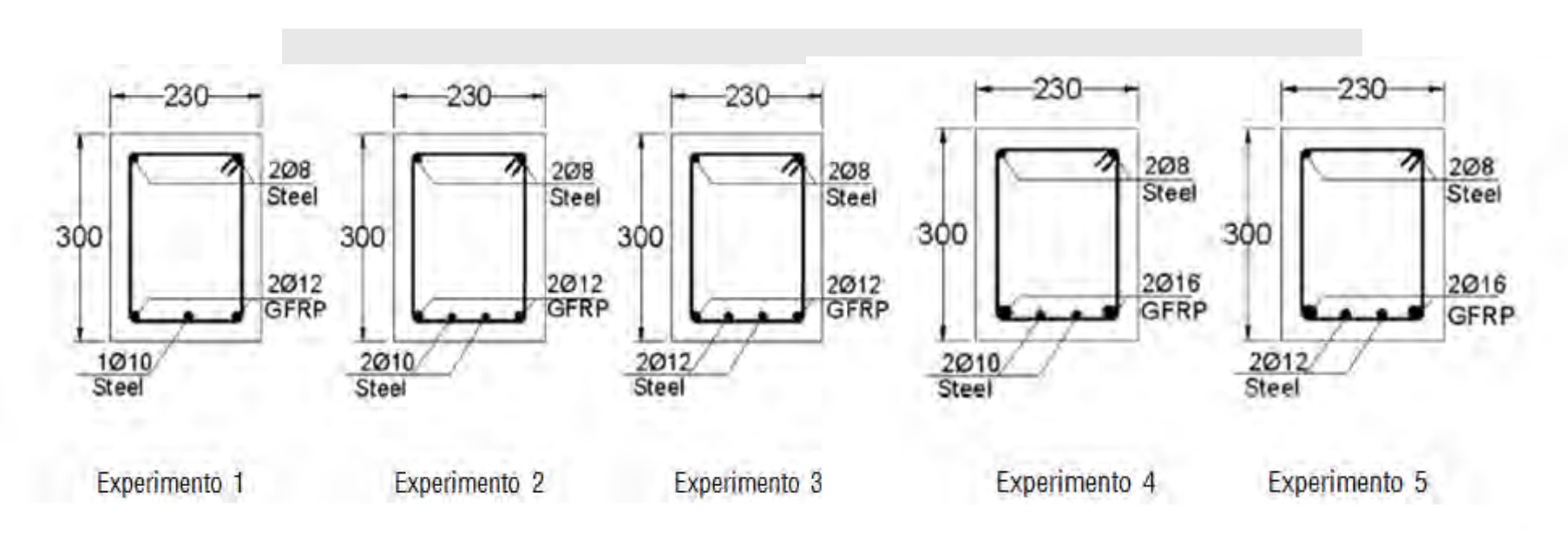


Descripción de la prueba





Descripción de la prueba



Nota: Los valores a continuación del diámetro de las varillas, está en mm.





Descripción de la prueba



Viga de control propuesta

Experimento	As	A GFRP	r = As/AGFRP	Concreto Mpa	Refuerzo Mpa
CONTROL	4 de 12 *			21	420





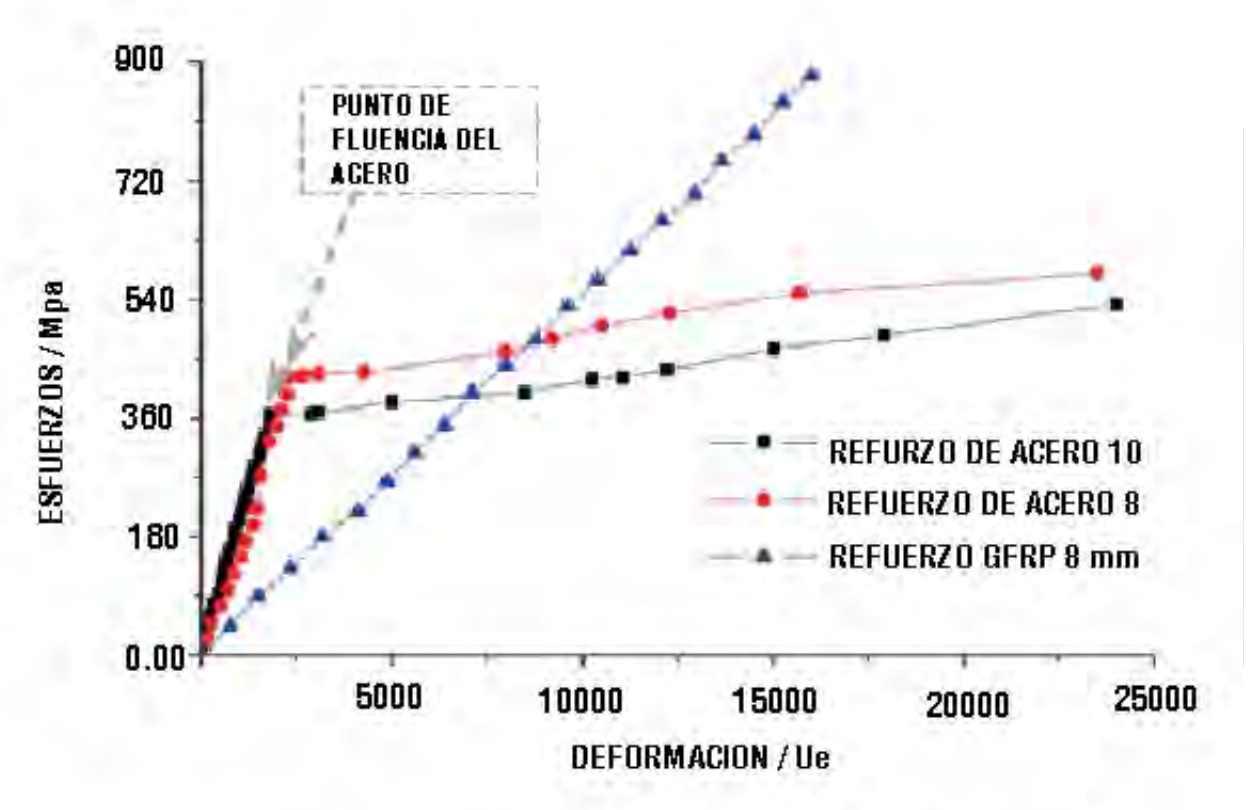
Procedimiento

La velocidad de carga durante la etapa de carga 0,5 kn / s, mientras que la tasa de desplazamiento durante el desplazamiento controlado etapa fue de 0,2 mm / s.

Para la etapa del desplazamiento controlado, se usó una variable adimensional, δ / l, para indicar la ductilidad de flexión de la muestra de ensayo, donde δ es la deflexión medida como desplazamiento en el centro del claro.



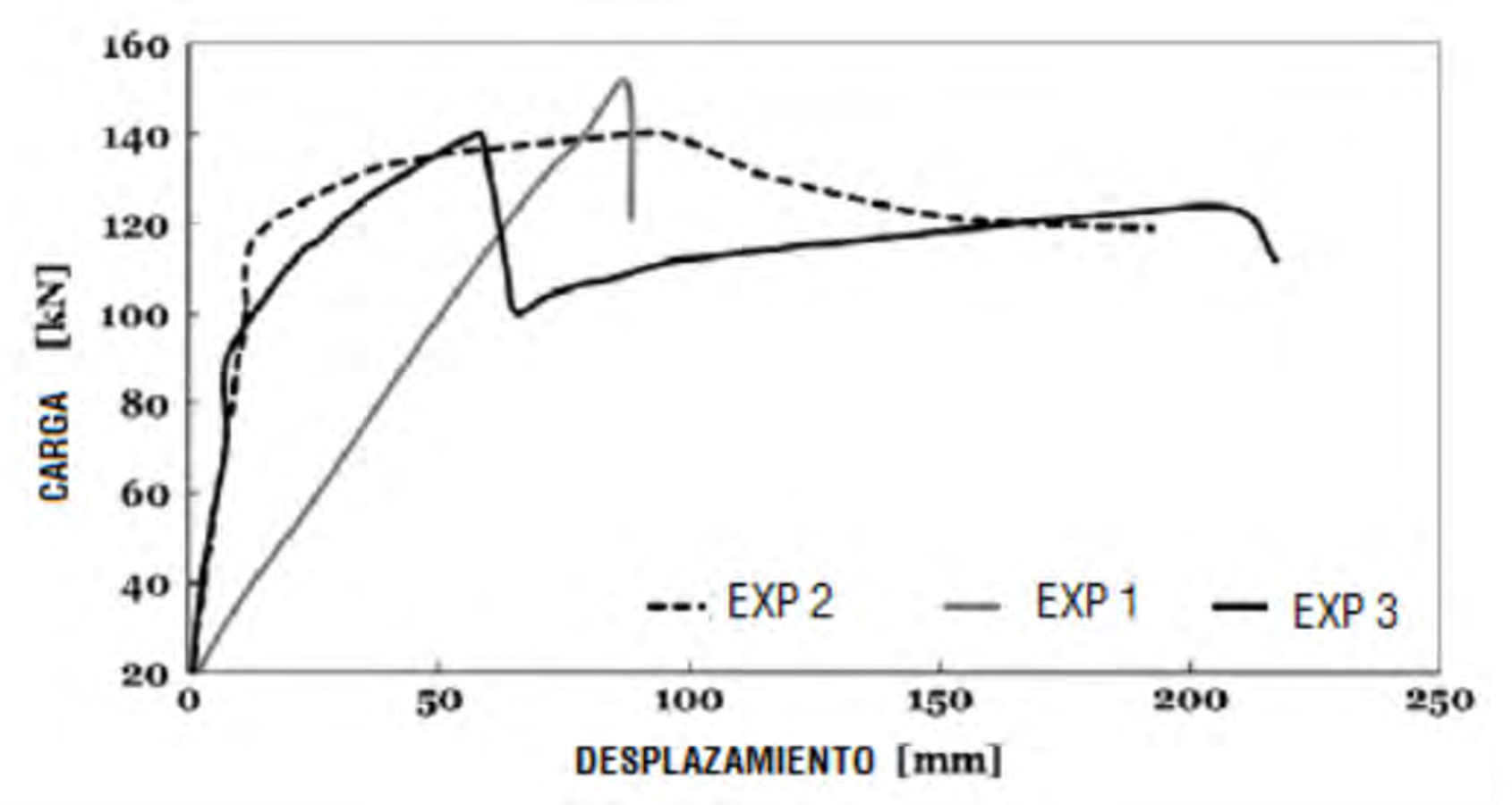
Comparación





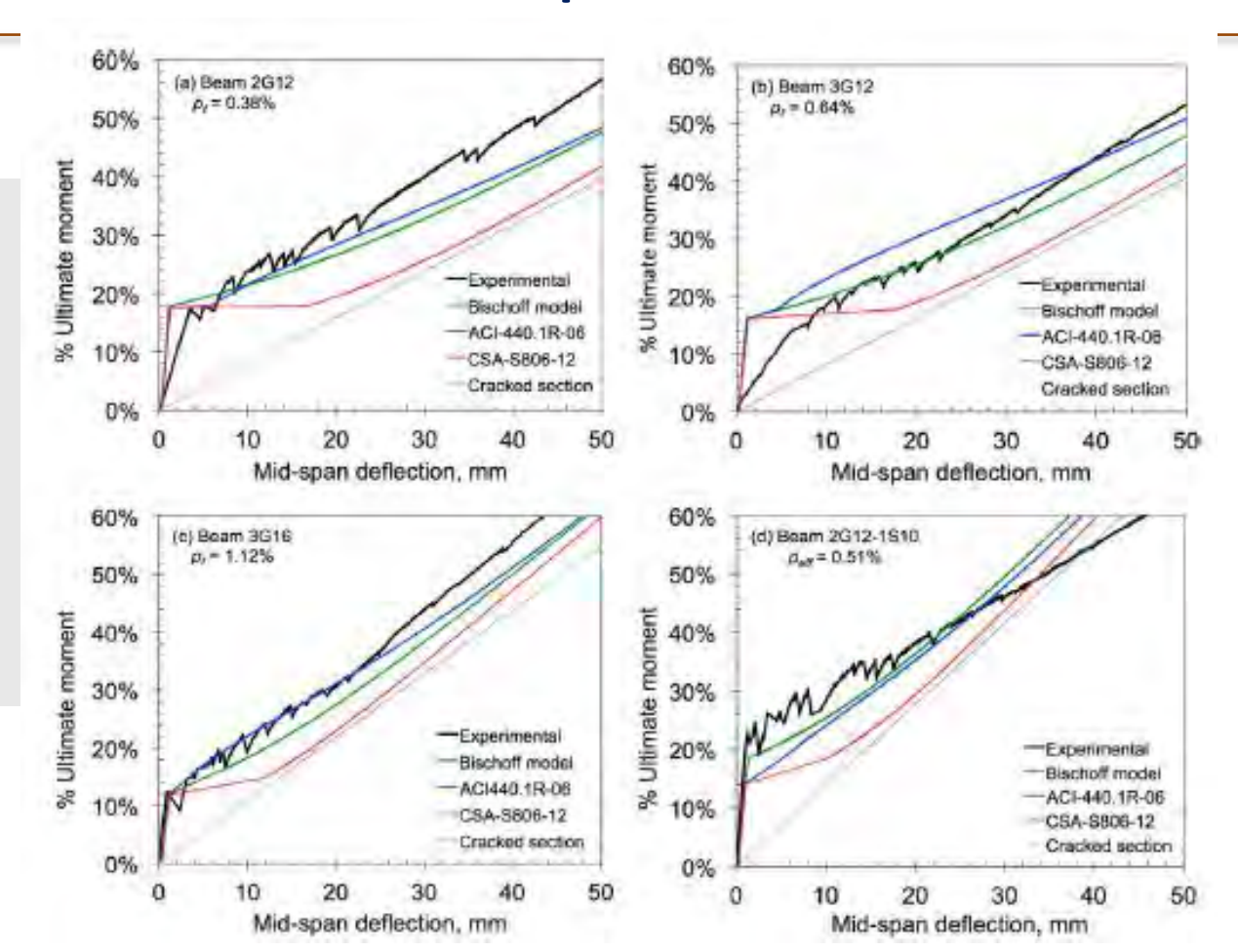


Comparación





Comparación







Resultados de la investigación





Resultados de la investigación





Resultados de la investigación







Conclusiones

- 1. Es posible implementar la utilización de <u>vigas híbridas</u> en zonas de la estructura que no hagan parte del sistema de resistencia sísmica.
- 2. Se deberá tener en cuenta que la falla puede suceder por aplastamiento del concreto.
- 3. Su deformabilidad es mayor que en vigas solamente armadas con refuerzo de acero convencional, por lo que sus <u>deflexiones</u> pueden llegar a ser críticas (condiciones de servicio).
- El proceso industrial de la producción de <u>barras en GFRP</u> puede disminuir de manera ostensible el costo por metro lineal y el peso es 7 veces inferior al acero, valores agregados para tener en cuenta.